

## مدیریت غیر سازه‌ای سیلاب‌دشت‌ها با استفاده از پیش‌بینی خسارت کشاورزی

علیرضا شکوهی<sup>۱</sup> و زهرا گنجی نوروزی<sup>۲</sup>

تاریخ دریافت: ۹۱/۰۹/۰۸

تاریخ پذیرش: ۹۱/۱۲/۱۵

### چکیده:

تعیین خسارت کشاورزی گام اول برای مدیریت غیرسازه‌ای سیلاب‌دشت‌ها با زون‌بندی مناطق از نظر ریسک سرمایه‌گذاری است. پیش‌بینی خسارت کشاورزی نیازمند تحلیل ریسک زمانی و مکانی بوده و با ترکیبی از تحلیل فراوانی، شبیه‌سازی هیدرولیکی سیل و توابع خسارت در مراحل مختلف رشد گیاهان محاسبه می‌شود. در روش ارائه شده که بر مبنای تکنیک مونت‌کارلو شکل گرفته است شناسی رخداد سیل در هر یک از مراحل رشد گیاه از طریق ضرایب وزنی که با نمونه‌گیری تصادفی از توزیع یکنواخت تولید می‌شوند، محاسبه شده و خسارت نهایی از مجموع خسارت‌های حاصل در هر یک از مراحل رشد و ثابت شدن آن به ازای تکرارهای متوالی به دست می‌آید. در این تحقیق جهت شبیه‌سازی هیدرولیکی سیل از HECRAS و برای ترکیب نتایج حاصله با توابع خسارت زمانی و فیزیکی گیاه از محیط GIS استفاده شده است. در این مطالعه برای توسعه روش پیش‌بینی خسارت، گیاه برنج که کشت غالب مناطق شمالی ایران می‌باشد مورد استفاده قرار گرفته است. نتایج نشان می‌دهند که میزان خسارت متوسط به ازای رخداد یک سیل معین در مراحل مختلف رشد به ترتیب در مراحل نشا، خوشه‌دهی، ساقفرزی و درو افزایش می‌باشد. براین اساس زمان رخداد سیل تأثیر بسزایی در میزان خسارت دارد ولی رابطه خسارت با افزایش رشد گیاه مستقیم و خطی نیست. در روش‌های موجود خسارت سطح سیل ۱۰۰ درصد محسوب می‌گردد ولی در این مطالعه متوسط خسارت ناشی از رخداد سیل‌های ۱۰۰ ساله، ۲۰۰ ساله و ۵۰۰ ساله در سطح سیل گیر ۵۰۰ ساله به ترتیب برابر با ۴۷، ۲۷ و ۲۱ درصد بدست آمد.

**واژه‌های کلیدی:** برنج، توابع خسارت، ریسک مکانی و زمانی، پیش‌بینی خسارت کشاورزی، مدیریت غیرسازه‌ای.

<sup>۱</sup> دانشیار گروه مهندسی آب، دانشکده فنی و مهندسی دانشگاه بین‌المللی امام خمینی (ره)، قزوین، ایران. تلفن تماس: ۰۲۸۱-۸۳۷۱۱۴۸

پست الکترونیکی : shokoohi@ikiu.ac.ir

<sup>۲</sup> استادیار گروه مهندسی آب، دانشکده کشاورزی دانشگاه صنعتی شهرورد، شهرورد، ایران.

پست الکترونیکی : z\_ganji59@yahoo.com

## مقدمه:

سیلاب داشت، بیمه سیلاب، مدیریت حوضه، هشدار سیل، تخلیه مناطق سیل زده، مدیریت بهنگام سیلاب در مخازن و کمک های اضطراری نام برد (Patel and Dholakia, 2010). تجربیات دنیا در مورد روش های غیرسازه ای به دهه ۱۹۸۰ میلادی برمی گردد و تقریبا همه روش های فوق الذکر بسته به موقعیت کشور و منطقه مورد نظر، آزمون شده اند ولی عملاً چهار مورد کنترل گسترش سیلاب داشت، بیمه سیلاب، هشدار سیل و تخلیه بیش از بقیه موارد در کشور های اروپایی، امریکا و ژاپن با اقبال مواجه شده اند (اما می، ۱۳۸۵). در ایران عملاً کاری جدی در این مورد صورت نگرفته و مدیریت غیرسازه ای بیشتر به کمک رسانی بعد از سیلاب و احیاناً تخلیه مردم از مناطق تحت خطر محدود بوده است. تجربیاتی نیز در مورد نصب سیستم های هشدار سیل در حوضه گرگان رود، شاندیز و ماسوله دیده شده است (روابط عمومی شرکت آب منطقه ای خراسان رضوی، گیلان و گرگان، ۱۳۹۱). نکته قابل توجه در مورد این تجربیات داخلی و خارجی آن است که تقریباً همگی آن ها جوامع انسانی را هدف گرفته اند و در باب آنچه که مورد بحث این تحقیق است سابقه ای گزارش نشده است. شاید مسئله هشدار سیل برای محققین ایرانی بیشتر از بقیه موارد مدیریت غیرسازه ای جذاب بوده است (امیدوار و همکاران، ۱۳۸۴، خدایی و همکاران، ۱۳۸۵). در این میان مطالعات محدودی نظیر تنظیم منحنی فرمان سد با توجه به میزان خسارت کلی در پایین دست (ملک محمدی و همکاران، ۱۳۸۶)، بهره گیری از مدل های رقومی ارتفاعی با فرض خسارت صد درصد در هر سلول آب گرفته (مصطفایی و همکاران، ۱۳۸۶) و همچنین موردي دیگر در خصوص استفاده از بیمه سیلاب در مناطق شهری (ملک محمدی و تجربی شی، ۱۳۸۴) نیز گزارش شده است. یکی از موفق ترین روش هایی که در سطح دنیا برای کاهش خسارت سیلاب (البته با تمرکز روی خسارت مناطق مسکونی) بدان توجه شده است پنهان بندی خطر سیلاب داشتها و استفاده از قوانین بازدارنده و تعیین حق بیمه بر اساس منطقه خطر و

در دهه دوم قرن بیست و یکم که به نظر می رسد دوره تشدید و قابع حدی سوانح طبیعی نظیر سیلاب باشد، به بشر ثابت شده است که بجای ادعای مبارزه با سیلاب و به عبارتی دیگر ادعای کنترل سیلاب بهتر است به همزیستی با سیلاب پرداخته و بجای کنترل، آن را مدیریت نماید. بهترین گواه این مدعای سخنرانی کوفی عنان دبیر کل سازمان ملل متعدد در سال ۲۰۰۳ می باشد: "وظیفه ما تنها محدود به حفظ منابع آب برای توسعه پایدار نیست بلکه شامل کاهش توان آن برای گرفتن زندگی ابناء بشر نیز می شود. ما می توانیم و باید تعداد و اثرات حوادث ناگوار را، با ایجاد جوامعی پایدار که بتوانند در بلند مدت به زندگی تأثیر با ریسک ادامه دهند، کاهش دهیم" (WMO, 2006). راه های کنترل و مدیریت سیلاب را عموماً به دو دسته روش های سازه ای و غیرسازه ای تقسیم می کنند (کمیته ملی آبیاری و زهکشی، ۱۳۷۹). در ارتباط با مقدمه فوق الذکر می توان کنترل سیلاب را یک روش سازه ای و روش های مدیریت سیلاب را در دسته روش های غیرسازه ای جای داد. روش های سازه ای سعی در کاهش میزان سیلاب دارند حال آنکه روش های غیرسازه ای سعی در کاهش اثرات و عواقب سیلاب دارند (اما می، ۱۳۸۵). اکنون دیگر این اعتقاد که روش های غیرسازه ای مخصوص کشور های فقیر است وجود نداشته و بسیاری از کارشناسان کشور های غربی و ژاپن بر این باور ند که تلفیق روش های سازه ای و غیرسازه ای می تواند با هزینه کمتر به کاهش خسارت ناشی از سیلاب منجر شود (کمیته ملی آبیاری و زهکشی، ۱۳۷۹؛ ااما می، ۱۳۸۵، نوری و شریفی، ۱۳۹۰). در یک جمع بندی کلی از تمامی تجربیات موجود در سطح دنیا و همچنین ایران برای روش های سازه ای می توان آن را شامل روش هایی نظیر ساخت سد بر رودخانه، سیل بند حول مناطق در خطر سیلاب، گوره یا خاکریز و یا دیواره های اطراف رودخانه، تثیت بستر و لایروبی کردن رودخانه دانست. برای روش های غیرسازه ای نیز می توان از روش هایی نظیر پیش بینی سیلاب، پیش بینی مناطق سیل زده با استفاده از عکس های ماهواره ای، کنترل گسترش

مونت کارلو نقشه بهتر و با عدم قطعیت کمتری را برای مناطق سیلگیر بدست دهنند. در مقایسه با روش‌های قطعی و  $9/3$  به ازای یکبار اجرای مدل، مساحت مناطق پرخطر درصد افزایش یافت (Kalyanapu et al., 2012). در یکی از آخرین کارهایی که توسط Solin برای تعیین میزان آسیب‌پذیری مناطق شهری انجام شده است وی توانست با توسعه اندرسکس‌های ترکیبی بطور تقریبی میزان حساسیت به وقوع سیل، مقاومت در مقابل آن و توانایی مقابله با مسائل بعد از سیلاب را کمی نماید (Solin, 2012). در کوششی ارزشمند Ahmad and Simonovic (Ahmad and Simonovic, 2011) به اهمیت ریسک زمانی و مکانی و ترکیب این دو ریسک برای رسیدن به برآورده مناسب از خسارت سیلاب پرداخته و سعی نمودند به کمک روش فازی عدم قطعیت‌های زمانی و مکانی ناشی از Bakarگیری مدل Mike21 را مدل نمایند (Middelmann-Fernandes, 2011) که استفاده از منحنی‌های خسارت - عمق و یا خسارت - سرعت که بطور مجزا برای خسارت ساختمانی تهیه می‌شوند میزان خسارت را کم برآورد نموده و بر استفاده ترکیبی از این منحنی‌ها برای برآورد واقعی تر میزان خسارت تأکید نمود (Huang et al., 2010). Huang و همکاران در مطالعه‌ای که در چین انجام دادند میزان خسارت اقتصادی ناشی از سیل را با استفاده از داده‌های سیل‌های سال ۱۹۹۸ مورد بررسی قرار دادند و در نهایت میزان خسارت را با نوع سیل، مدت زمان سیل و تعداد سیل مرتبط کردند (Huang et al., 2008). Kang و همکاران مطالعه‌ای جهت تخمین خسارت سیل در مناطق مسکونی انجام دادند و تابع عمق-خسارت را برای مناطق مسکونی با توجه به داده‌های سیل سال ۱۹۹۵ در جنوب تایوان استخراج کردند (Kang et al., 2005). Dutta و همکاران در مطالعه‌ای که بر روی خسارات ساختمانی و برخی محصولات کشاورزی انجام دادند، ابتدا توسط یک مدل هیدرولوژیکی عمق آب را در نقاط مختلف حوضه برآورد کردند و سپس با ترکیب توابع عمق-خسارت و نقشه عمق سیل، خسارت را محاسبه نمودند (Dutta et al., 2003). تحقیق Dutta از ارزشمندترین کارهای انجام شده در زمینه برآورد خسارت کشاورزی است ولی اولاً در این مطالعه توابع خسارت-عمق

اعطای یارانه به مردم برای دوری جستن از مناطق با ریسک بالا می‌باشد (امامی، ۱۳۸۵). آنچه که تحقیق حاضر بدان اختصاص دارد توسعه مدل و یا به عبارت بهتر توسعه الگوریتمی است که بتواند ریسک خسارت کشاورزی را برآورد نماید و با پنهانه‌بندی ریسک در سیلاب‌دشت، مبانی لازم برای مدیریت سیلاب‌دشت در مناطق روسایی را فراهم آورد. یکی از خروجی‌های مدل توسعه یافته تعیین میزان ریسک برای محصولات کشاورزی در هر سلول از نقشه‌هایی است که علی‌الاصول رستره بوده و براین اساس، شرایط اولیه لازم برای تعیین حق بیمه محصولات کشاورزی در مقابل سیلاب و همچنین محاسبه میزان خسارت قابل پرداخت را بدست می‌دهد.

غالباً معیار و روش مشخصی برای برآورد خسارت کشاورزی ناشی از سیل وجود ندارد و تقریباً در اکثر موارد سیل‌گرفتگی برابر با خسارت صدرصد فرض می‌شود که با واقعیت‌های موجود تطابق ندارد. یقیناً یکی از مهمترین علایم این امر عدم وجود تابعی بوده است که بتواند ارتباط بین پارامترهای فیزیکی سیل و میزان خسارت را برقرار نماید. از طرف دیگر ترکیب هیدرولیک سیل و توابع خسارت و نهایتاً پیش‌بینی خسارت کشاورزی به علت وابستگی این نوع از خسارت به زمان رخداد سیل معمولاً پیچیده‌تر و مشکل‌تر از بررسی دیگر انواع خسارت‌ها می‌باشد و تاکنون روشی که بتواند عملأ ریسک زمانی و مکانی، هیدرولیک سیل و توابع خسارت کشاورزی را با یکدیگر ترکیب کرده و احتمالات مختلف متناظر با رخداد یک سیل با بزرگی معین را در هر یک از مراحل رشد مدنظر قرار دهد وجود نداشته است.

واقعیت آن است که در سطح دنیا تحقیقات بسیار اندکی در مورد پیش‌بینی یا برآورد خسارت کشاورزی صورت گرفته و توابع خسارت کشاورزی جز برای چند گیاه محدود مورد بررسی قرار نگرفته است. با توجه به این امر لازم است که از مجموعه دانش موجود در برآورد دیگر انواع خسارت‌ها نظیر خسارت‌های ساختمانی، که بیشتر به مناطق شهری هم اختصاص دارد، نیز استفاده به عمل آید که در این بخش به مهمترین آنها اشاره خواهد شد.

Kalyanapu و همکاران با استفاده از یک مدل هیدرولیکی دو بعدی تلاش نمودند تا با استفاده از روش

گردید. در نهایت ترکیب توابع خسارت و هیدرولیک سیل صورت پذیرفت که نتایج آن در بخش‌های بعدی خواهد آمد.

## مواد و روش‌ها

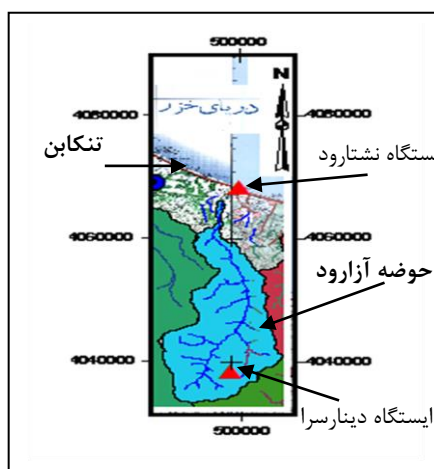
پیش‌بینی خسارت کشاورزی، نیازمند تحلیل فراوانی سیل در منطقه، شبیه‌سازی هیدرولیکی سیل با توجه به توپوگرافی، تعیین توابع خسارت فیزیکی گیاهان و میزان سرمایه‌گذاری کشاورز در هر یک از مراحل رشد گیاه می‌باشد. براین اساس در این بخش ابتدا به نحوه تحصیل هر یک از عوامل بالا پرداخته و در نهایت جهت پیش‌بینی خسارت کشاورزی با در نظر گرفتن احتمال رخداد سیل در هر یک از مراحل رشد گیاه، روشی برای ترکیب عوامل فوق با یکدیگر ارائه می‌گردد.

### ۱- منطقه مطالعاتی

یکی از کاربری‌های مهم سیلاب‌دشت‌های اطراف رودخانه‌های شمال ایران، کشاورزی می‌باشد و برنج نیز از محصولات استراتژیک این منطقه بوده و بیشترین مساحت زیر کشت را به خود اختصاص می‌دهد. بدین‌جهت گیاه برنج به عنوان گیاه مورد مطالعه جهت استخراج تابع خسارت کشاورزی و حوضه آزارود جهت پیش‌بینی خسارت کشاورزی ناشی از سیل، انتخاب گردید. آزارود از رودخانه‌های مستقل زیر حوضه چالوس است که از کوههای واقع در ۴۰ کیلومتری جنوب شرقی شهر تنکابن سرچشمه می‌گیرد و در نهایت به دریای مازندران می‌ریزد. دو ایستگاه هیدرومتری دینارسرا و نشتارود به ترتیب در بالادست و پایین دست این رودخانه قرار دارند. شکل(۱) نمایی از این حوضه و محل ایستگاه‌ها را نشان می‌دهد. بر اساس داده‌های موجود، دو ایستگاه دینارسرا و نشتارود به ترتیب دارای ۲۷ سال و ۱۰ سال داده‌برداری می‌باشند. ایستگاه دینارسرا دارای طول دوره آماری مناسب جهت بررسی‌های هیدرولوژیکی و تحلیل فراوانی سیلاب بوده و با توجه به بستر تثبیت شده رودخانه در محل این ایستگاه، داده‌های آن از اطمینان خوبی برخوردار می‌باشند.

برای محصولات کشاورزی در مراحل مختلف رشد توسعه داده نشده و ثانیاً اشاره‌های به زمان رخداد سیل نشده است. Berning و همکاران در مطالعه‌ای که انجام دادند با توجه به داده‌های تاریخی میزان خسارات ساختمانی را به پیک سیلاب مرتبط کردند (Berning et al, 2001). همانطوری که مشخص است در این تحقیق نیز نه تنها زمان رخداد سیل مورد توجه قرار نگرفته است بلکه توجهی به توزیع مکانی سیل در حوضه نیز نشده است و بنابراین ترکیب هیدرولیک سیل و توابع خسارت نیز صورت نگرفته است. Bernning و همکاران در تحقیق دیگری که بر روی محصول نیشکر انجام دادند تابع عمق- خسارت را برای ماههای مختلف سال گسترش دادند(Bernning et al, 2000). آنها به نوعی با این تحقیق اهمیت زمان رخداد سیل و بزرگی سیل را در میزان خسارت خاطرنشان کردند اما علاوه بر اینکه این توابع را با هیچ مدل هیدرولیکی ترکیب نکردند (عدم توجه به توزیع مکانی سیل) پیش‌بینی خسارت و نیز احتمال رخداد سیل در ماههای مختلف سال نیز مورد توجه قرار نگرفته است. نرم افزار های موجود برای برآورد خسارت مثل FDA، HAZUS ANUFLOOD و ESTDAM نیز اغلب برای خسارت‌های ساختمانی و صنعتی طراحی شده‌اند. HEC\_FDA, 2008; FEMA, 2008; Smith and Greenaway, 1988).

همانگونه که مشاهده می‌شود در بیشتر تحقیقاتی که تا کنون صورت گرفته نحوه توزیع زمانی سیل مورد توجه محققین نبوده است و این در حالی است که زمان رخداد سیل می‌تواند از صفر تا صد درصد در میزان خسارت مؤثر باشد. با توجه به مباحث ذکر شده و نیازی که به پیش‌بینی خسارت کشاورزی در مناطق روستایی جهت تعیین درجه محافظت از این مناطق و تعیین درجه ریسک مطلوب بخش کشاورزی جهت مدیریت صحیح سیلاب احساس می‌گردد این تحقیق بر تلفیق ریسک زمانی و مکانی برای محصولات کشاورزی متمرکز شده است. در این راستا از توابع خسارت زمانی و فیزیکی گیاه برنج که کشت غالب مناطق شمالی ایران و محصولی استراتژیک است به عنوان نمونه استفاده



شکل (۱): موقعیت ایستگاه‌های هیدرومتری و حوضه آزارود در غرب مازندران

محصول کشاورزی قابل تعریف می‌باشد: تابع خسارت زمانی (Time Dependent Loss Function; TDLF) پتانسیل خسارت هر محصول در طی سال تولید می‌شود و اهمیت زمان رخداد سیل را نشان می‌دهد و تابع فیزیکی خسارت (Physical Loss Function; PLF) که خسارت وارد بر گیاه مشخص را در هر مرحله از رشد بر اساس پارامترهای فیزیکی سیل به دست می‌دهد و اهمیت بزرگی سیل را در ایجاد خسارت مشخص می‌کند. تابع خسارت کل (Total Loss Function; TLF) نیز قابل تعریف است که از حاصلضرب دو تابع فوق به دست می‌آید. بنابراین پیش‌بینی خسارت کشاورزی، نیازمند تعیین پتانسیل خسارت محصول در طی سال (TDLF)، داده‌های مربوط به فراوانی اثرات فیزیکی سیل و مقاومت گیاه در هر دوره از رشد در مقابل اثرات فیزیکی سیل (PLF) می‌باشد.

### ۱- تعیین تابع خسارت زمانی

پتانسیل خسارت یک محصول مشخص در طی سال، از زمان کاشت تا درو متغیر است. تابع خسارت محصول به صورت یک رابطه از هزینه سرمایه گذاری و درآمد خالص برای محصول در زمانهای مختلف به دست می‌آیند. پتانسیل کل خسارت کشاورزی را می‌توان از رابطه زیر بدست آورد:

$$D_j = IC_t + NR \quad (1)$$

### ۲- هیدرولیک سیل

جهت محاسبه خسارت، تعیین پارامترهای فیزیکی سیل از جمله عمق و سرعت سیل در هر نقطه از حوضه اجتناب‌ناپذیر است. در مطالعه حاضر برای این منظور از HEC-RAS استفاده شد. یکی از مزایای استفاده از این مدل قابلیت دریافت داده‌های توپوگرافی با فرمت GIS و تبدیل آسان خروجی‌ها به فرمت GIS می‌باشد که برای تحقیق حاضر بسیار حائز اهمیت است. جهت کالیبره کردن ضریب مانینگ در رودخانه از داده‌های دبی- اشل در دو ایستگاه دینارسرا در بالادست و نشتارود در پایین دست رودخانه آزارود استفاده شده است. برای واسنجی ضریب مانینگ در سیلاندشت، از آنجا که هیچ نوع داده‌ای اعم از عمق، مساحت سیل‌گیر یا حتی عکس هوایی از منطقه وجود ندارد، از مساحت تقریبی سیل‌گیر ۲۵ ساله که با پرسش از اهالی و مسئولین منطقه آزارود تعیین گردید، استفاده شد.

### ۳- تعیین تابع خسارت کشاورزی

خسارت سیل برای محصولات کشاورزی مشتمل بر سرمایه‌های از دست رفته و فرست اقتصادی به دست نیامده به ازای رخداد یک واقعه سیل می‌باشد. خسارت‌های حاصل از رخداد سیل هم به دلیل وابستگی هزینه صورت گرفته برای زراعت تا زمان وقوع سیل و هم به دلیل تغییر مقاومت ساختمانی گیاه با توجه به مراحل رشد، تابعی از زمان وقوع سیل می‌باشند. بر این اساس دو نوع تابع خسارت برای هر

## ۲-تابع فیزیکی خسارت

تابع فیزیکی خسارت، میزان خسارت وارد بر گیاه را در مقابل پارامترهای فیزیکی سیل مانند عمق، سرعت، زمان ماندابی و غیره به دست می‌دهد. اغلب محققین گذشته تابع خسارت را در مورد هر نوع خسارتی با پارامتر عمق یا سرعت سیل ارتباط می‌دادند. حال آنکه برای بررسی اندرکنش پیچیده جریان و گیاه، تنها عمق و سرعت کافی نیست و پارامترهای هیدرولیکی دیگر و یا ترکیب آن‌ها برای تعیین میزان خم‌شدنی و نهایتاً شکست ساقه گیاه مورد نیاز است (گنجی و همکاران، ۱۳۹۰ و ۱۳۹۱). در همین راستا در تحقیقی که گنجی و همکاران برای تعیین تابع خسارت کشاورزی برای گیاه برنج انجام داده‌اند، علاوه بر بررسی هر یک از دو پارامتر عمق و سرعت به تنها‌یی، تأثیر پارامترهای حاصل‌ضرب عمق و سرعت، عدد فروود، عدد رینولدز و تنش برشی را نیز در برآورد میزان خسارت مورد بررسی قرار دادند. با توجه به تفاوت میزان خسارت بر حسب دوره رشد گیاه، آنها ارتباط بین میزان خسارت و پارامترهای سیل را برای چهار مرحله مختلف پس از نشا، ساقه‌زنی، خوشدهی و درو برقرار کردند. نتایج این تحقیق نشان داد که جهت تخمین خسارت کشاورزی از بین کلیه پارامترهای مورد بررسی، عدد رینولدز پارامتر برتر و تابع لگاریتمی زیر بهترین تابع می‌باشد (Ganji et al., 2012).

$$PLF_i = a \ln(Re) - b ; \quad i = a, s, c, h \quad (4)$$

که در آن  $PLF$  میزان خسارت وارد به گیاه به صورت درصد،  $Re$  عدد رینولدز،  $i$  معرف مرحله رشد گیاه و  $a$  و  $b$  ضرایبی هستند که برای مراحل مختلف رشد توسط آزمایش مشخص می‌شوند.

## ۴-ارائه روش پیش‌بینی خسارت کشاورزی

همانگونه که در بخش‌های قبلی ذکر شد جهت پیش‌بینی خسارت کشاورزی ناشی از سیل در یک منطقه باید توابع خسارت زمانی و مکانی گیاه زراعی مورد نظر را با هیدرولیک سیل به گونه‌ای ترکیب نمود که بتوان نحوه تأثیر زمان رخداد سیل را دید. همانطوری که ذکر شد هم اکنون

که در آن  $D$  میزان خسارت،  $IC$  هزینه سرمایه‌گذاری،  $NR$  درآمد خالص (درآمد منهای همه هزینه‌ها) می‌باشد. ز واقعه سیل و  $t$  تاریخ سیل می‌باشد. خسارت وارد به تأسیسات کشاورزی و دیگر خسارات غیرمستقیم به صورت درصدی از خسارت محصول قابل بیان می‌باشند.

$IC_t$  و  $NR_t$  بر حسب دوره رشد متفاوت بوده و لذا رابطه (۱) بر حسب دوره رشد قابل تفکیک می‌باشد. به عنوان مثال در دوره نشاء هزینه سرمایه‌گذاری ( $IC_t$ ) فقط شامل هزینه‌های آماده‌سازی محصول ( $PC_t$ ) است که در برگیرنده هزینه‌های صورت گرفته برای آماده‌سازی ابتدایی، کشت، نشا (بذرپاشی)، کوددهی و نیروی کارگری می‌باشد. در دوره ساقه‌زنی و خوشدهی هزینه‌های وحین، آبیاری و مراقبت از محصول نیز به  $PC_t$  افزوده می‌شود. نهایتاً در مرحله درو، پتانسیل خسارت بیشترین مقدار بوده و از رابطه زیر به دست می‌آید:

$$D_j = GV - HC \quad (2)$$

که در آن  $GV$  قیمت محصول و  $HC$  هزینه درو می‌باشد (USACE, 1998).

در این مطالعه تابع خسارت زمانی (TDLF) برای محصول برنج در اثر وقوع واقعه‌ای که تمام یا بخشی از محصول را در هر مرحله از رشد از بین ببرد، به صورت نسبت (درصد) حاصل جمع کل درآمد خالص به دست نیامده و هزینه‌های صورت گرفته برای محصول تا زمان  $t$  (مرحله مورد نظر) به مرحله برداشت بیان می‌شود. می‌توان فرم ریاضی تابع فوق را برای تمام مراحل به صورت زیر نشان داد.

$$TDLF = \beta_i \quad i = a, s, c, h \quad (3)$$

که در آن  $\beta$  درصد خسارت برای هر مرحله از رشد نسبت به مرحله برداشت،  $i$  اندیس نشان دهنده مرحله رشد گیاه و  $a, s, c, h$  به ترتیب نشان دهنده مرحله نشا، ساقه‌زنی، خوشدهی و درو می‌باشند.

- ۳- تعیین تعداد کل رخداد سیل در طول دوره رشد که با  $N$  نشان داده می‌شود.
- ۴- تعیین ضرایب وزنی مربوط به هر مرحله از رشد با استفاده از فرمول  $\alpha_i = \frac{N_i}{N}$  که در آن  $N_a, N_s, N_c, N_h$  و  $i$  نسبت احتمال تجربی رخداد سیل در هر مرحله رشد به احتمال رخداد سیل در کل دوره رشد می‌باشد.
- ۵- تعیین و تهیه نقشه‌های رقومی عمق و سرعت و سطح سیل‌گرفتگی به ازای رخداد سیل با دوره برگشت تعیین شده.
- ۶- تهیه نقشه رقومی رینولدز با استفاده از نقشه‌های رقومی عمق و سرعت
- ۷- تعیین نقشه رقومی خسارت فیزیکی ( $PLF_i$ ) برای هر مرحله از رشد با استفاده از نقشه رقومی رینولدز و توابع خسارت فیزیکی در مراحل مختلف رشد
- ۸- محاسبه نقشه رقومی خسارت کل ( $TLF_i$ ) برای هر مرحله که از حاصل ضرب تابع خسارت فیزیکی و تابع خسارت زمانی برای هر مرحله به صورت  $TLF_i = PLF_i \times \beta_i$  به دست می‌آید.
- ۹- تأثیر احتمال رخداد سیل در هر مرحله از رشد در نقشه رقومی خسارت کل برای آن مرحله که با ضرب  $\alpha_i$  در  $TLF_i$  به دست می‌آید.
- ۱۰- محاسبه خسارت کل به ازای رخداد سیل با دوره برگشت معین با استفاده از رابطه

$$TLF = \sum_{i=a}^h (TLF_i \times \alpha_i) \quad (5)$$

معادله (۵) معرف ریسک زمانی و مکانی فعالیت‌های کشاورزی به ازای رخداد سیلی با بزرگی معین، فراوانی معین و احتمال رخداد در کل دوره رشد می‌باشد.

ج- اساس این روش استفاده از تکنیک مونت کارلو می‌باشد. روش ج در حقیقت اصلاح شده روش ب می‌باشد و مبنای آن با تفاوت‌هایی جزئی از تئوری روش ب پیروی می‌کند. در این روش به جای محاسبه  $\alpha_i$  بر اساس بندهای ۲، ۳ و ۴ در روش ب، فرض می‌شود که احتمال رخداد سیل در هر یک از مراحل رشد گیاه از توزیع

سیل‌گرفتگی برابر با خسارت صدرصد فرض می‌شود که با واقعیت‌های موجود تطابق ندارد. در تحقیق حاضر سیل‌گرفتگی معادل با خسارت صدرصد نبوده و از معادله (۴) به عنوان تابع فیزیکی خسارت برای گیاه برنج استفاده شده است. این تابع ارتباط بین پارامتر فیزیکی سیل (عدد رینولدز) و میزان خسارت وارد بر گیاه برنج را برای مراحل مختلف رشد به درصد نشان می‌دهد.

خسارت کشاورزی برخلاف دیگر انواع خسارت مانند خسارت ساختمانی وابسته به زمان رخداد سیل است. برای تعیین احتمال رخداد سیل در هر یک از مراحل رشد چند روش را می‌توان پیشنهاد کرد.

الف- از آنجا که مراحل رشد برنج تقریباً با ماههای فروردین، اردیبهشت، خرداد، تیر و مرداد مقارن هستند می‌توان تحلیل فراوانی را به صورت ماهانه برای ماههای مذکور انجام داده و دیگر با دوره برگشت‌های ۲ تا ۵۰۰ ساله را برای هر ماه جداگانه استخراج کرد. با این اطلاعات تخمین خسارت برای هر دوره بازگشت و برای هر دوره از رشد گیاه به راحتی قابل انجام است. این روش به علت کمبود داده در بسیاری از حوضه‌ها از جمله حوضه آزارود عملی نیست.

ب- در این روش می‌توان تحلیل فراوانی را بر اساس دوره رشد گیاه مورد نظر انجام داد و بر اساس داده‌های هیدرولوژیک موجود، نسبت رخداد سیل در کل فصل رشد دوره‌های رشد گیاه نسبت به رخداد سیل در کل فصل رشد گیاه را به دست آورده و با ترکیب ضرایب به دست آمده و توابع خسارت فیزیکی و زمانی، خسارت ناشی از سیل با هر دوره برگشت دلخواه را به دست آورد. بر این اساس عملای می‌توان گفت که در این روش از داده‌های فصلی برای تحلیل سیلاب استفاده می‌شود. مراحل این روش را می‌توان در بندهای زیر خلاصه کرد:

- تحلیل فراوانی سیل منطقه مورد نظر بر اساس دوره رشد گیاه مورد مطالعه
- تعیین تعداد رخداد سیل در زمان منطبق با هر مرحله از رشد گیاه که با  $N_a, N_s, N_c$  و  $N_h$  یعنی تعداد رخداد سیل در مرحله نشا، ساقه‌زنی، خوشده‌ی و درو نشان داده می‌شود.

به عنوان نمونه مراحل انجام کار و نتایج پیش‌بینی خسارت کشاورزی ناشی از سیل با دوره برگشت ۵۰۰ ساله با استفاده از روش توصیه شده (روش ج) ارائه می‌گردد.

پس از اجرای مدل هیدرولیکی به ازای  $500$  ساله، نقشه رقومی خسارت فیزیکی برای مراحل مختلف رشد ( $PLF_i$ ) با استفاده از نقشه رقومی رینولدز و رابطه<sup>(۴)</sup> به دست می‌آید. در مرحله بعد نقشه رقومی خسارت کل ( $TLFi$ ) برای هر مرحله از دوره رشد از حاصلضرب نقشه رقومی  $PLFa$ ،  $PLFc$ ،  $PLFs$  و  $PLFh$  و تابع خسارت زمانی به دست می‌آید. شکل‌های ۲-الف و ۲-ب بترتیب  $TLFs$  و  $TLF$  را نشان می‌دهند. بعد از بدست آوردن نقشه توزیع خسارت مکانی به ازای هر دوره رشد لازم است با توجه به آنکه زمان رخداد سیل با دوره بازگشت معین در دوره‌های مختلف رشد نامشخص است، شناسن رخداد هر کدام از این خسارت‌ها را بطور تصادفی برآورد کرده و به کمک این احتمالات هر کدام از خسارت‌های محتمل را وزن‌دهی نمود. برای این منظور با برنامه‌نویسی در محیط GIS،  $4$  مدل رقومی  $\alpha_a$ ،  $\alpha_c$ ،  $\alpha_s$  و  $\alpha_h$  بترتیب برای هر یک از دوره‌های نشا، ساقه‌زنی، خوش‌دهی و برداشت به صورت تصادفی چنان تولید می‌شوند که مجموع آنها در هر سلول از نقشه برابر با  $1$  گردد. باید برای تعیین خسارت به ازای هر دوره بازگشت در کل دوره رشد آنقدر به تولید  $\alpha_i$ ‌ها و ضرب آنها در هر کدام از خسارت‌های کل مربوط به هر مرحله رشد ( $TLF_i$ ) و سپس جمع جبری آنها (معادله<sup>(۵)</sup>) ادامه داد به طوریکه تفاوت خسارت هر دو محاسبه متوالی به صفر میل نماید. شکل ۳ مدل رقومی خسارت کل ( $TLF$ ) را به ازی رخداد سیل  $500$  ساله نشان می‌دهد. همانطور که در شکل‌های (۲-الف و ۲-ب) در مقایسه با شکل<sup>(۳)</sup> دیده می‌شود خسارت در نقاط متفاوت به ازای رخداد سیل در هر یک از مراحل مختلف رشد با خسارت کل کاملاً متفاوت است و نمی‌توان از تأثیر احتمال رخداد سیل در هر یک از مراحل رشد به راحتی چشم‌پوشی کرد. تغییر میزان خسارت، سلول به سلول و ناحیه به ناحیه در شکل‌های مزبور بخوبی پیداست. همانطوری که ذکر شد علاوه بر سیل  $500$  ساله، پیش‌بینی خسارت برای دوره‌برگشت‌های  $2$ ،  $5$ ،  $10$ ،  $25$ ،  $50$ ،  $100$  و  $200$  ساله نیز به ترتیبی که ذکر

یکنواخت پیروی می‌کند و بر این اساس برای محاسبه  $\alpha$  از این توزیع به صورت تصادفی نمونه‌گیری می‌شود. محاسبات تا ثابت شدن خسارت کل تکرار می‌گردد.

## نتایج

### ۱- استخراج تابع خسارت زمانی

دوره نشا برای گیاه برنج در مناطق مختلف متفاوت است. در منطقه آزارود از دهه آخر اسفند تا  $15$  فروردین بذر برنج را در خزانه آماده نشا کرده و نشاکاری از دهه سوم فروردین شروع شده و تا اواخر اردیبهشت ادامه می‌باید. بر اساس اینکه نوع بذر زودرس یا دیررس باشد  $30$  تا  $45$  روز پس از نشا گیاه به مرحله ساقه‌زنی می‌رسد و  $20$  تا  $30$  روز پس از ساقه‌زنی خوش‌دهی می‌دهد. بنابراین دوره ساقه‌زنی از اواخر اردیبهشت تا اوایل تیر ماه و دوره خوش‌دهی از دهه دوم خرداد تا اوایل مرداد ماه خواهد بود. معمولاً  $20$  روز پس از خوش‌دهی خوش‌دهی کاملاً رسیده و آماده درو می‌شوند. بنابراین دوره درو از اوایل تیر ماه تا اواخر مرداد ماه ادامه می‌باید.

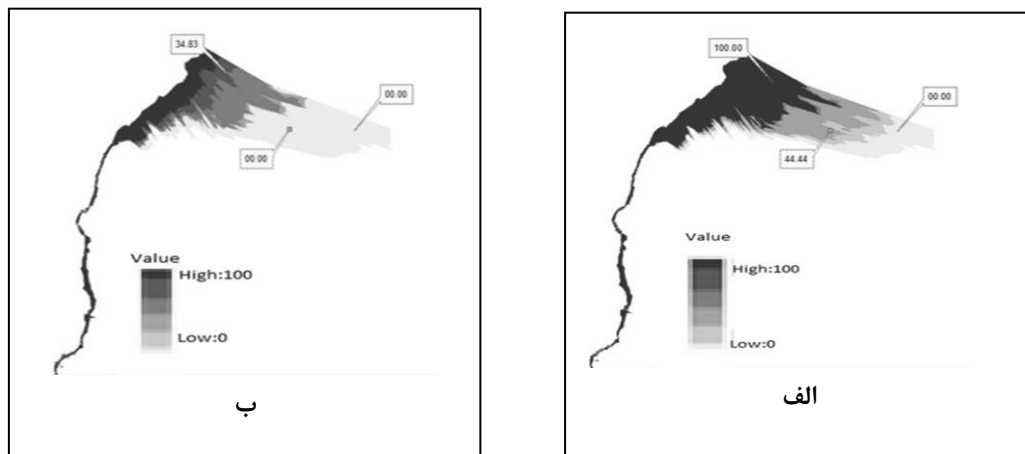
اگر یک واقعه معین سیل در زمان برداشت برنج رخ دهد و بزرگی آن به اندازه‌ای باشد که کل محصول را از بین برداشت خسارت وارد به کشاورز  $100$  درصد خواهد بود ولی اگر همین واقعه در زمان نشا، ساقه‌زنی و خوش‌دهی اتفاق بیفتند، خسارت وارد به کشاورز  $100$  درصد نخواهد بود. بر این اساس در این مطالعه حاصل جمع هزینه‌های صورت‌گرفته تا زمان برداشت برنج (درو) و درآمد خالص برابر با  $100$  درصد فرض گردیده و خسارت در سایر مراحل به صورت درصدی از خسارت در مرحله درو بیان شده است. با پرسش از کشاورزان و مسئولین بخش کشاورزی در منطقه آزارود، مشخص شد خسارت مستقیم محصول برنج در نشا حدود  $50$  درصد می‌باشد. خسارت محصول برنج در منطقه آزارود در مراحل ساقه‌زنی و خوش‌دهی به ترتیب برابر با  $80$  و  $90$  درصد برآورده شد.

### ۲- تعیین خسارت کشاورزی

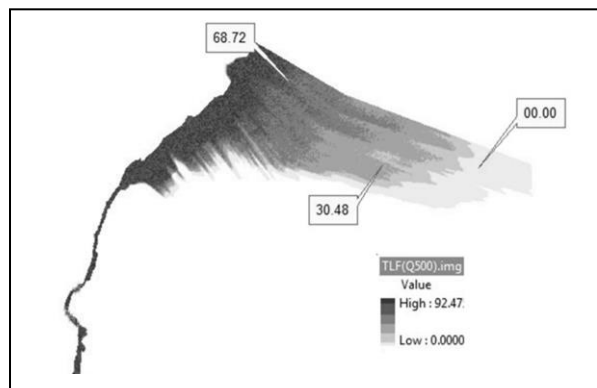
خسارت کشاورزی در محدوده مورد مطالعه برای کلیه دوره‌های بازگشت  $2$  تا  $500$  ساله محاسبه شد. در این بخش

براین اساس انتخاب دوره بازگشت بهینه جهت مدیریت سیل، تخصیص یارانه و یا تعیین حق بیمه و میزان خسارت پرداختی از اهمیت بسزایی برخوردار است و اشتباه در این انتخاب می‌تواند باعث تحمیل هزینه‌های غیرضروری بر سیستم یا محافظت کمتر از حد ضرورت برای منطقه و در نتیجه ایجاد خسارات ناشی از آن گردد.

گردید، صورت پذیرفته و خلاصه نتایج مربوط به خسارت متوسط نسبت به سطح سیل گیر ۵۰۰ ساله در جدول (۱) آمده است. نتایج نشان می‌دهند که نه تنها سیل‌گرفتگی همواره برابر با خسارت صدرصد نیست بلکه در بسیاری مواقع سیل‌گرفتگی هیچ خسارتی به محصول برنج وارد نمی‌کند. برآورد خسارت بدون توجه به این نکته، علاوه بر دست بالا گرفتن سطح محافظت در مقابل سیل، می‌تواند هزینه هنگفتی را به شرکت‌های بیمه وارد آورد. همچنین نتایج نشان می‌دهند که علاوه بر سطح سیل‌گرفتگی، خسارت در یک نقطه مشخص که در دو دوره بازگشت مختلف زیر آب رفته بسیار متفاوت است.



شکل (۲): الف-  $TLF_a$  و ب-  $TLF_b$  برای دبی ۵۰۰ ساله



شکل (۳): نقشه رقومی خسارت کل (TLF) به ازی رخداد سیل ۵۰۰ ساله

جدول (۱): خلاصه نتایج پیش‌بینی خسارت (%) برای سیل‌های ۲ تا ۵۰۰ ساله

دوره بازگشت سیل (سال)	سطح سیل گیر (ha)	خسارت متوسط در سطح سیل گیر ۵۰۰ ساله (%)
۵۰۰	۲۰۰	۱۰۰
۵۸۷	۴۶۴	۳۷۴
۴۷/۱	۲۷/۵	۲۰/۵
۲۰۰	۱۰۰	۵۰
۴۶۴	۳۷۴	۲۲۰
۲۷/۵	۲۰/۵	۱۳/۰
۱۰۰	۵۰	۱۲۶
۳۷۴	۲۲۰	۷۰
۲۰/۵	۱۳/۰	۹/۳
۵۰	۲۵	۵/۹
۲۲۰	۲۵	۳/۸
۱۳/۰	۱۰	۲/۵
۹/۳	۵	۰
۵/۹	۲	۰
۳/۸	۰	۰
۰	۰	۰

## نتیجه‌گیری

هیچ خسارتی وارد نمی‌کند. این امر بررسی مجدد روش‌های کنونی برآورد خسارت و جایگزینی آن با روش نظری روش پیشنهادی این تحقیق را بطور جدی مطرح می‌نماید.

خسارت با توجه به توپوگرافی در اطراف رودخانه می‌تواند در نقاط مختلف حوضه بسیار متفاوت باشد و این امر اهمیت ترکیب شبیه‌سازی هیدرولیکی سیل با توابع خسارت را آشکارتر می‌کند.

- روش مناسب برای برآورد خسارت کشاورزی باید به هر دو عامل زمان و مکان توجه نماید.
- برای جبران کمبود داده‌های مربوط به دبی، روش نمونه‌گیری تصادفی و برای رسیدن به خسارت متوسط و محاسبه ریسک کوتاه مدت روش مونت‌کارلوی ویژه‌ای که در این تحقیق بکار گرفته شده است توصیه می‌گردد.
- میزان خسارت ناشی از یک سیل معین که در زمان‌های متفاوت سال رخ داده، در نقاط مختلف حوضه از صفر تا صدرصد متغیر است. با توجه به استفاده از نقشه‌های رستری در محیط GIS می‌توان برای هر سلول از نقشه میزان خسارت را تعیین و بر این اساس به تهیه نقشه ریسک کشاورزی بر مبنای زون‌بندی مناطق بر حسب میزان خسارت وارد پرداخت.
- نتایج حاصل از این تحقیق مبانی لازم برای تهیه دستورالعمل بیمه سیل کشاورزی را فراهم می‌نماید.
- میزان متوسط خسارت ناشی از رخداد سیل‌های با دوره برگشت ۲ تا ۵۰۰ ساله در مساحتی به وسعت سیل ۵۰۰ ساله از ۲ تا ۵۰ درصد متغیر بوده و در پهنه سیل‌گیر خسارت هیچ‌گاه صد درصد نبوده است.

## تشکر و قدردانی

این پژوهش با استفاده از اعتبار پژوهشی دانشگاه بین‌المللی امام خمینی (ره) با شماره ۷۵۱۰۳۶-۹۱ حمایت شده است.

در تحقیق حاضر پیش‌بینی خسارت کشاورزی ناشی از سیل برای حوضه آزارود که یک حوضه سیل‌خیز در شمال ایران بوده و معرف خوبی از منطقه می‌باشد، به عنوان منطقه مطالعاتی و گیاه برنج که بیشترین سطح زیر کشت را به خود اختصاص می‌دهد به عنوان گیاه مورد مطالعه انجام گردید. جهت شبیه‌سازی هیدرولیک سیل از مدل HECRAS که به راحتی با GIS لینک می‌شود استفاده شد. تابع خسارت زمانی (TDLF) برای محصول برنج توسط پرسش از کشاورزان و مسؤولین منطقه، به صورت درصدی از حاصل جمع کل درآمد خالص به دست نیامده و هزینه‌های صورت گرفته برای محصول تا زمان  $t$  نسبت به مرحله برداشت استخراج گردید. جهت برآورد خسارت فیزیکی تابع خسارت-رینولدز در مراحل مختلف رشد گیاه برنج شامل نشا، ساقه‌زنی، خوش‌دهی و درو به کار برد شد. این توابع ارتباط بین میزان خسارت و بزرگی سیل را در هر مرحله از رشد نشان می‌دهند. از آنجا که خسارت کشاورزی وابسته به زمان رخداد سیل می‌باشد، جهت پیش‌بینی خسارت کشاورزی لازم بود روشی ارائه گردد که بتواند تأثیر احتمال رخداد سیل در هر یک از مراحل رشد گیاه برنج را ببیند. در این مطالعه برای رسیدن به این هدف از تکنیک مونت کارلو استفاده به عمل آمد. تحلیل فراوانی سیل به صورت فصلی انجام گرفته و خسارت کل به ازای رخداد سیل با بزرگی معین از حاصل جمع خسارت ایجاد شده توسط سیل مذکور در مراحل مختلف رشد با توجه به احتمال رخداد سیل در هر مرحله تعریف گردید. برای وزن‌دهی به احتمال رخداد سیل در هر یک از مراحل رشد گیاه برنج، از توزیع یکنواخت به صورت تصادفی چنان نمونه‌گیری شد که مجموع ضرایب برابر با یک باشد و مراحل محاسبه خسارت تا ثابت شدن خسارت کل ادامه یافت.

مهم‌ترین نتایج حاصل از این تحقیق عبارتند از:

- نه تنها سیل‌گرفتگی همواره برابر با خسارت صد درصد نیست بلکه در بسیاری مواقع سیل‌گرفتگی به محصول برنج

## - ۶- منابع

- ۱- امامی، ک. ۱۳۸۵. روش‌های غیر سازه‌ای مدیریت سیلاب. کارگاه فنی همزیستی با سیلاب. تهران، ایران.
- ۲- امیدوار، ب.، ک. امامی، ه. خدایی و ح. حکمتی‌فر. ۱۳۸۴. سیستمهای پیش‌بینی هشدار سیلاب و نقش آن در مدیریت بحران. اولین کنفرانس بین‌المللی مدیریت جامع بحران در حوادث غیرمتربقه. تهران. ایران، ص ۱-۷.
- ۳- خدایی، ه.، م. کبارفرد و ج. مظفری. ۱۳۸۵. پیش‌بینی و هشدار، ابزاری کارا برای همزیستی با سیلاب. کارگاه فنی همزیستی با سیلاب. تهران، ایران.
- ۴- شرکت سهامی آب منطقه‌ای استان خراسان رضوی. روابط عمومی. آخرین بازدید: . <http://www.khrw.ir.1391>
- ۵- شرکت سهامی آب منطقه‌ای استان گلستان. روابط عمومی. آخرین بازدید: . <http://www.gsrw.ir.1391>
- ۶- شرکت سهامی آب منطقه‌ای استان گیلان. روابط عمومی. آخرین بازدید: . <http://www.glrw.ir.1391>
- ۷- کمیته ملی آبیاری و زهکشی. ۱۳۷۹. راهنمای روش‌های غیر سازه‌ای مدیریت سیلاب. نشریه شماره ۴۰.
- ۸- گنجی، ز.، ع. ر. شکوهی و ج.م.و. سامانی. ۱۳۹۰. تعیین عمق و سرعت جریان سیلابی در آستانه شکست گیاهان زراعی و محاسبه موقعیت برش در آنها با استفاده از آنالیز تحلیلی و آزمایشگاهی، مطالعه موردنی؛ برنج. مجله هیدرولیک، سال ۶، شماره ۱، ص ۵۳-۶۸.
- ۹- گنجی، ز.، ع. ر. شکوهی و ج.م.و. سامانی. ۱۳۹۱. بررسی تحلیلی رفتار متقابل گیاه و جریان جهت تبیین مبانی مدل ریاضی خسارت کشاورزی. یازدهمین کنفرانس هیدرولیک ایران. ارومیه. ایران. ص ۹-۱۱.
- ۱۰- ملک محمدی، ب. و م. تجریشی. ۱۳۸۴. تعیین نرخ بیمه سیل در مناطق شهری. صنعت بیمه سال ۱۴، شماره ۵۵. ص ۷۰-۷۷.
- ۱۱- ملک محمدی، ب.، ب. زهراei، ر. کراچیان و ا. ضیایی. ۱۳۸۶. تلفیق مدل بهینه سازی کنترل سیلاب در مخازن سدها با مدل پهنه‌بندی تعیین خسارت در رودخانه پایین دست، ششمین کنفرانس هیدرولیک ایران، دانشگاه شهر کرد، ایران، ص ۱۱-۱۱.
- ۱۲- مصباحی، ج.؛ ج. عطاری؛ ر. سبزیوند. ۱۳۸۶. تحلیل خطرپذیری و مدیریت سیلاب با استفاده از نرم‌افزارهای GIS و HEC-RAS و تحلیل اقتصادی خسارت، ششمین کنفرانس هیدرولیک ایران، دانشگاه شهر کرد.
- ۱۳- نوری، م. و ب. شریفی. ۱۳۹۰. بررسی اهمیت روش‌های غیرسازه‌ای در مدیریت سیلاب. ششمین کنگره ملی مهندسی عمران. سمنان، ایران ص ۹-۱.
- ۱۴- وزارت نیرو. ۱۳۸۵. راهنمای ارزیابی خسارت سیلاب، پیش‌نویس نشریه شماره ۲۹۶-الف، دفتر استانداردها و معیارهای فنی، معاونت پژوهشی و مطالعات پایه، شرکت مدیریت و منابع آب ایران.
- 15- Ahmad, S.S., S.P. Simonovic. 2011. A three-dimensional fuzzy methodology for flood risk analysis. Journal of Flood Risk Management, 4(1): 53-74.
- 16- Berning, C., L.D. Plessis & M.F. Viljoen. 2001. Loss functions for structural flood mitigation measures, Water SA, 27(1): 35-38.
- 17- Berning, C., M.F. Viljoenand & L.D. Plessis. 2000. Loss functions for sugar-cane: Depth and duration of inundation as determinants of extent of flood damage, Water SA, 26(4): 527-530.
- 18- Department of Homeland Security Federal Emergency Management Agency Mitigation Division Washington, D.C. 2008. HAZUS: Multi-Hazard Loss Estimation Model Methodology-Flood Model Technical Manual. National Institute of Building Sciences Washington, D.C.
- 19- Dutta, D., S. Herath & K. Musiake. 2003. A mathematical model for flood loss estimation, Journal of Hydrology 277:24-49.
- 20- Ganji, Z., A. Shokoohi & J.M. Vali Samani. 2012. Developing an agricultural flood loss estimation function (case study: rice), Natural Hazards, 64:405-419.
- 21- HEC-FDA. 2008. Flood Damage Reduction Analysis, User Manual Version 1.2.4, Us Army Corps of for Water Resources Hydrologic Engineering Center.
- 22- Huang, X., H.Tan, J. Zhou, T. Yang, A. Benjaminand, S.W. Wenand, S. Li, A. Liu, X. Li & S. Fen. 2008. Flood hazard in Hunan province of China: an economic loss analysis, Nat Hazards, 47:65-73.
- 23- Kalyanapu, A.J., D.R. Judi & T.N. McPherson. 2012. Monte Carlo-based flood modelling framework for estimating probability weighted flood risk. Journal of Flood Risk Management, 5(1): 37-48.
- 24- Kang, J.L., M.D. Su & L.F. Chang. 2005. Loss Functions and Framework for Regional Flood Damage Estimation in Residential Area, Journal of Marine Science and Technology, 13(3): 193-199.

- 25- Middelmann-Fernandes, M.H. 2010. Flood damage estimation beyond stage-damage functions: an Australian example. *Journal of Flood Risk Management*, 3(1): 88-96.
- 26- Patel, D. & M. Dholakia. 2010. Feasible Structural and Non-Structural Measures to Minimize Effect of Flood in Lower Tapi Basin. *WSEAS TRANSACTIONS on FLUID MECHANICS*, 3(5): 104-121.
- 27- Smith, D.I. & M. Greenaway. 1988. The Computer Assessment of Urban Flood Damage: ANUFLOOD, Technical Report, Desktop Planning, Melbourne, Hargreen, Australia.
- 28- Solin, L. 2012. Spatial variability in the flood vulnerability of urban areas in the headwater basins of Slovakia. *Journal of Flood Risk Management*, 5(4): 303-320.
- 29- US Army Corps of Engineers, Hydrologic Engineering Center. 1985. Agricultural Flood Damage Analysis User's Manual.
- 30- WMO. 2006. Sustainable development through integrated flood management. *WMO Bulletin* 55(3).

## Non-structural management of floodplains using agricultural flood loss estimation

Alireza Shokoohi<sup>1</sup>, Zahra Ganji<sup>2</sup>

### Abstract

Agricultural flood loss estimation is the first step toward non-structural management of rural areas and requires the combination of flood frequency analysis, flood hydraulic simulation and loss function estimation for each growth stage of the crop. Due to the amount of investment and plant resistance, agricultural loss varies according to different growth stages; that is, agricultural flood loss is a time dependent phenomenon. In the proposed algorithm, which is based on the Monte Carlo technique, the chance of the flood occurrence at each growth stage is generated via a repetitive sampling from the Uniform probability density function while an insignificant difference between two consecutive summations of the losses at different stages gives the final total loss. Rice as the main crop of the north of Iran was selected for the study. The results showed that the loss is a non-linear function of the growth stages and increases as follows: transplanting, clustering stemming and harvesting. In contrast to the existing methods that suppose 100% loss for flooded areas, the 100, 200, and 500 return period floods caused losses equal to 21, 27, and 47% respectively.

**Keywords:** Agricultural flood loss estimation, Spatial and temporal risk, Loss functions, Rice, Non-structural management

- 
- 1- Associate professor, Water engineering Dept., Faculty of engineering and technology, Imam Khomeini International University, Qazvin, Iran. shokoohi@ikiu.ac.ir.
  - 2- Assistant Professor, Water engineering Dept., Faculty of Agriculture, Shahroud Industrial University, Shahroud, Iran. z\_ganji59@yahoo.com.